

小型FWD試験と一軸圧縮試験との比較

小型FWD、石炭灰、変形係数、地盤弾性係数

早稲田大学 正 赤木寛一 ○ 学 佐藤和久
 国士館大学 正 柴田英明 正 田中正智
 (株)東京測器研究所 正 岡野 剛

1. 研究目的

地盤の強度を求める場合、通常の土質試験法に従い実験を行おうとすると、サンプルの取り出しから始まり、さまざまの問題が生じ、原位置での正確な強度評価を行うことが難しくなっている。最近では、衝撃荷重と変位量との関係から、簡単に原位置地盤の強度評価ができる試験法が開発されている。本研究では、同一モデル地盤を用いて、簡易動的試験の一つである小型FWD試験による強度評価と一軸圧縮試験結果との比較を行った。

2. 実験方法

2.1 材料の工学的性質

実際に使用した材料の工学的性質を表.1に示している。

2.2 モデル地盤

モデル地盤は、直径90cm、深さ30cm(写真1参照)とし、木節粘土とポルトランドセメントを混合したもの(A,D)と石炭灰と高炉セメントを混合したもの(B,C)の2種類で、それぞれ硬い地盤(A,B)と軟らかい地盤(C,D)を想定して、合計4つの地盤を造成した。それぞれの配合表を表.2に示している。セメント量は、過去の流動化処理材のフロー値より決定した。

2.3 強度試験

一軸圧縮試験と小型FWD試験の2種類で行った。

2.3.1 一軸圧縮試験

流動化処理材の強度は7日後、28日後の強度測定のみであるが、現場適用を考慮し、3ヶ月までの一軸圧縮強さ q_u (KN/m²)を求めた。この結果に基づき、変形係数 E_{50} を求めた。

2.3.2 小型FWD試験

FWD試験は、載荷板上に重錐を自由落下させることにより衝撃荷重を加え、これにより生じた変位量と荷重より地盤反力係数 $K_{p,FWD}$ (MN/m³)や地盤弾性係数 E_{TML} (MN/m²)を推定する方法である。測定は一軸圧縮試験を行う日に同時に行った。本報告では、地盤弾性係数 E_{TML} (MN/m²)の結果を例として報告する。地盤弾性係数 E_{TML} については、以下に示す、Burmisterの理論解を用いて算出した。

$$E_{TML} = \frac{2(1-\nu^2)F_\phi}{\pi r \delta_\phi}$$

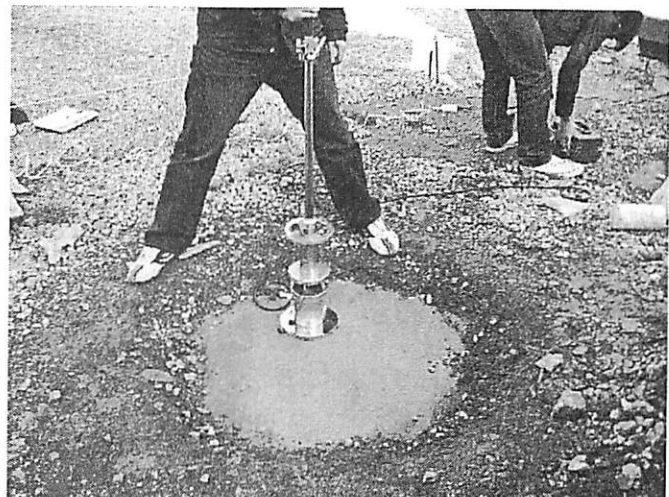
- ここに、 E_{TML} = FWD-LIGHTによる地盤弾性係数
 ν = ポアソン比
 F_ϕ = 載荷板直径 ϕ 時の最大荷重値
 δ_ϕ = 載荷板直径 ϕ 時の最大たわみ量
 r = 載荷板半径

表.1 材料の工学的性質

木節粘土	$G_s=2.67, I_p=25.42\%, \rho_{dmax}=1.73g/cm^3, w_{Opt}=17\%$
石炭灰	$G_s=2.22, U_c=1.5, I_p=NP, \rho_{dmax}=1.828g/cm^3, w_{Opt}=15\%$
ポルトランドセメント	$G_s=3.16$
高炉セメント	$G_s=3.04$

表.2 各土槽の配合表

	骨材(kgf/m ³)	水(kgf/m ³)	セメント(kgf/m ³)
A	905	604.5	181
B	1103.8	470.7	91.7
C	1128.7	475	47
D	857	659.2	65.9



Comparison of the portable falling weight deflectometer test result with the unconfined compression strength

Hirokazu AKAGI Waseda University
 Kazuhisa SATO Waseda University
 Hideaki SHIBATA Kokushikan University
 Masatomo TANAKA Kokushikan University

3. 実験結果

一軸圧縮試験による変形係数 E_{50} の経時変化を図. 1 に示した。なお、一軸圧縮試験を行った各供試体の物性に関する経時変化の一例を示すと、材料 A では 湿潤密度 $\rho_t = 1.52 \sim 1.68 \text{ g/cm}^3$ $w = 47 \sim 50\%$ 材料 B では $\rho_t = 1.52 \sim 1.68 \text{ g/cm}^3$ $w = 30 \sim 34\%$ 材料 C では $\rho_t = 1.65 \sim 1.68 \text{ g/cm}^3$ $w = 33 \sim 35\%$ 材料 D では $\rho_t = 1.56 \sim 1.57 \text{ g/cm}^3$ $w = 62 \sim 65\%$ であり、180 日程度ではさほど経時変化を生じていないことがわかる。図. 1 より、木節粘土で作成した材料 A では、60 日までは変形係数 E_{50} は急激に増加し、 $E_{50} = 4 \text{ MN/m}^2$ を示しているが、その後は減少し、150 日で $E_{50} = 1.6 \text{ MN/m}^2$ 位となっている。同様に、同一種類の土でセメント量を少なくして作成した材料 D も、30 日以降の E_{50} の増加率は非常に小さく、120 日で $E_{50} = 0.6 \text{ MN/m}^2$ 位である。一方、石炭灰で作成した材料 B, C はどちらも 150 日まではわずかながらも増加傾向を示すが、その増加率は小さく 150 日で材料 B で $E_{50} = 1.6 \text{ MN/m}^2$ 、材料 C で $E_{50} = 0.7 \text{ MN/m}^2$ を示している。

次に、それぞれの材料について、小型 FWD 試験で得られた地盤弾性係数を図. 2 に示した。実験に用いた小型 FWD 試験装置では、1600kN/m²以上の固い地盤には適用できないので、材料 C, D について表示している。図. 2 より、材料 D では、 E_{ML} 値は 30 日目で $E_{ML} = 80 \text{ MN/m}^2$ 、120 日目で $E_{ML} = 120 \text{ MN/m}^2$ と増加率は極めて小さいことが分かる。一方、材料 C では、60 日目の E_{ML} 値が 30 日目の E_{ML} 値よりも小さい値を示しているが、60 日目当日は、雨のため地表面が濡れており、計測が非常に難しくなったためである。このことを考慮すると、材料 C は、30 日目で $E_{ML} = 1000 \text{ MN/m}^2$ 、180 日目で $E_{ML} = 1500 \text{ MN/m}^2$ とまだ増加傾向が続くと判断することができる。この傾向は一軸圧縮試験結果とも同じ傾向であることが分かる。

上記の結果をもとに、変形係数 (E_{50}) と地盤弾性係数 (E_{ML}) との関係を比較したものが図. 3 である。図. 3 は、材料 C, D で得られたデータを記入したものである。それぞれの材料に対して、同日に一軸圧縮試験と小型 FWD 試験を行っているので、一つのデータで 2 種類の試験結果を比較したものとなる。図. 3 より、 E_{50} と E_{ML} との間には 2 つの傾向がみられる。ひとつは、石炭灰で造成した材料 C では変形係数 E_{50} の増加に伴い、地盤弾性係数 E_{ML} がかなり大きい増加傾向を示すのに対し、木節粘土で造成した材料 D では、変形係数 E_{50} が増加しても地盤弾性係数 E_{ML} はほとんど増加しないことを示している。

今後、さらに計測データを収集して、小型 FWD 試験結果と一軸圧縮強度との相関性を明確にする必要がある。

4. 結論及び考察

上記の実験結果より、下記のことがわかった。

- (1) 石炭灰で造成した材料の強度は 2 か月経過した後も強度増加が生じていたが、木節粘土で造成した材料の強度は 2 か月後はほぼ一定値を示すことがわかった。この理由として、石炭灰の水硬性による反応がまだ持続しているためと考えられる。
- (2) 材料の違いにより、小型 FWD 試験結果と一軸圧縮試験結果との関係が異なってくることがわかった。ほかの種類の土についても調査し、さらに両試験についての関係を見出していく必要がある。

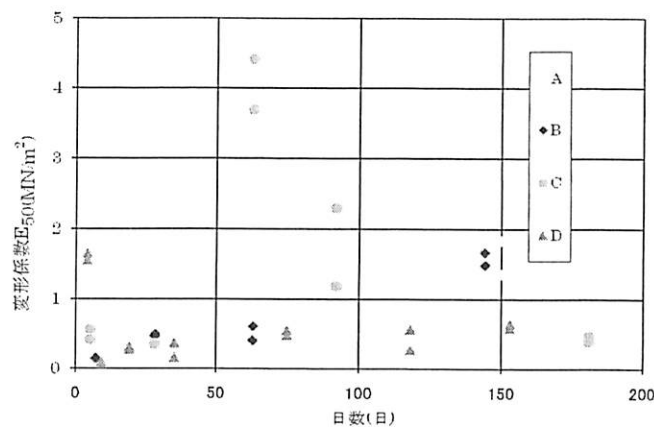


図1.変形係数 E_{50} (A,B,C,D)

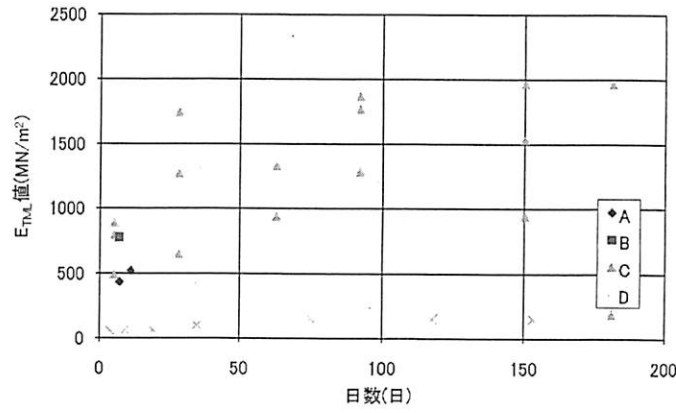


図2.地盤弾性係数(A,B,C,D)

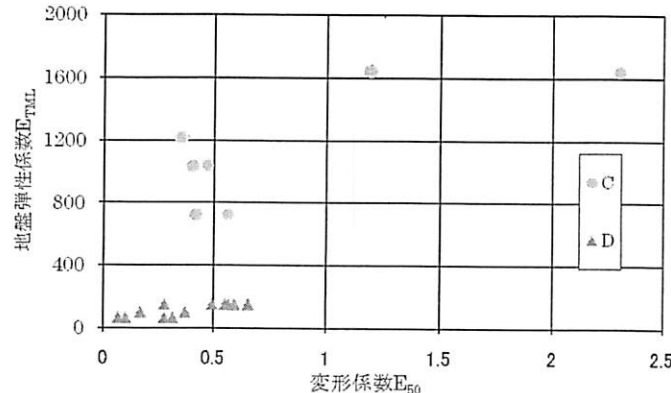


図3.地盤弾性係数 E_{ML} と変形係数 E_{50} の関係